

4/IV-69

K-659

СООБЩЕНИЯ
ОБЪЕДИНЕННОГО
ИНСТИТУТА
ЯДЕРНЫХ
ИССЛЕДОВАНИЙ

Дубна



P1 - 4280

Г.И.Копылов

К КИНЕМАТИКЕ
ПАРНОГО РОЖДЕНИЯ РЕЗОНАНСОВ

Лаборатория высоких энергий

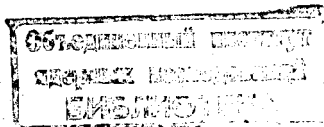
1969

P1 - 4280

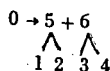
2251/2 up.

Г.И.Копылов

К КИНЕМАТИКЕ
ПАРНОГО РОЖДЕНИЯ РЕЗОНАНСОВ



Речь пойдет о парном рождении резонансов в реакциях типа $\bar{p} + p \rightarrow \rho + \rho \rightarrow (\pi_1 + \pi_2) + (\pi_3 + \pi_4), \pi^+ + p \rightarrow \Delta + \rho \rightarrow (p + \pi^+) + (\pi^+ + \pi^-)$ или в общем случае о реакциях



(1)

Могут ли в подобных реакциях пары "чужих" π - мезонов ($\pi_1 \pi_3$) и ($\pi_2 \pi_4$) также образовывать ρ - мезон? Или, если частицы 2 и 3 тождественны, то какова будет область изменения (m_{13}, m_{24}), будет ли она отличаться от области изменения (m_{12}, m_{34}) в прямой реакции $0 \rightarrow 1+2+3+4$? Последний вопрос важен при расчете фона, возникающего на треугольной диаграмме (m_{12}, m_{34}) из-за неразличимости частиц 2 и 3.

На эти и некоторые другие вопросы (см. §2) мы ответим, если рассчитаем область I изменения (m_{13}, m_{24}) в процессе (1). Ниже решается эта задача для случая, когда $m_1 = m_2 = m_3 = m_4 = \mu$, а $m_5 = m_6 = m$. Более общий случай произвольных масс пока не имеет аналитического решения.

§1. Расчет

Интересующий нас расчет можно проводить по-разному; мы проведем часть решения одним способом, затем продолжим решение по-другому, потом перейдем к третьему способу — в расчете на то, что один из способов окажется пригодным для более сложных задач.

Будем работать в системе покоя 0, в которой импульсы частиц 5 и 6 равны \vec{p} и $-\vec{p}$, а энергии $\omega_5 = \omega_6 = \omega = m_0/2$. На импульсы \vec{p} и $-\vec{p}$ насадим эллипсоиды распадов $5 \rightarrow 1+2$ и $6 \rightarrow 3+4$ (рис. 1а). Направления импульсов \vec{p}_1 и \vec{p}_3 однозначно определяют, во-первых, величину p_1 и p_3 , а, кроме того, и векторы \vec{p}_2 и \vec{p}_4

$$\vec{p}_2 = \vec{p} - \vec{p}_1, \quad \vec{p}_4 = -\vec{p} - \vec{p}_3;$$

значит, тем самым определяются и эффективные массы m_{13} и m_{24} . Меняя направления вылета частиц 1 и 3, будем получать различные значения m_{13} и m_{24} ; нас интересуют те направления, при которых (m_{13}, m_{24}) принимают крайние допустимые значения.

Начнем с аналитических формул. В системе покоя 5 зададим косинус η угла между \vec{p}_1 и \vec{p}_5 , в системе покоя 6 — косинус ξ угла между \vec{p}_3 и \vec{p}_5 и угол ϕ между плоскостями (\vec{p}_1, \vec{p}_5) и (\vec{p}_3, \vec{p}_5) .

Введем еще величину

$$\sigma = (1 - 4\mu^2/m^2)^{\frac{1}{2}},$$

через которую выражается импульс любой из частиц 1 или 2 (3 или 4) в системе покоя 5 (6):

$$p_i^* = m\sigma/2.$$

Переход в систему покоя 0 даст для энергии частицы 1 выражение

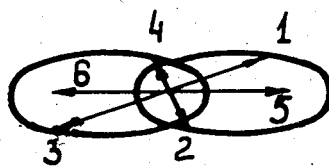
$$\omega_1 = \frac{\omega + p\sigma\eta}{2}.$$

Проекция импульса \vec{p}_1 на \vec{p}_5 будет $(\omega\sigma\eta + p)/2$, а его поперечная компонента — $m\sigma\sqrt{1 - \eta^2}/2$. Так мы придем к совокупности исходных формул

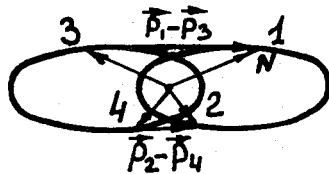
$$\omega_1 = \frac{1}{2}(\omega + p\sigma\eta), \quad p_{1\parallel} = \frac{1}{2}(\omega\sigma\eta + p), \quad |\vec{p}_{1\perp}| = \frac{1}{2}m\sigma\sqrt{1 - \eta^2};$$

$$\omega_2 = \frac{1}{2}(\omega - p\sigma\eta), \quad p_{2\parallel} = \frac{1}{2}(-\omega\sigma\eta + p), \quad \vec{p}_{2\perp} = -\vec{p}_{1\perp};$$

$$\omega_3 = \frac{1}{2}(\omega - p\sigma\xi), \quad p_{3\parallel} = \frac{1}{2}(\omega\sigma\xi - p), \quad |\vec{p}_{3\perp}| = \frac{1}{2}m\sigma\sqrt{1 - \xi^2}; \quad (1)$$



(a)



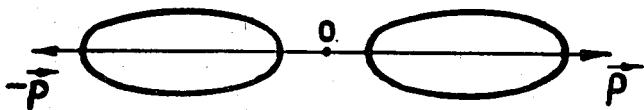
(b)



(c)



(d)



(e)

Рис. 1.

$$\omega_4 = \frac{1}{2}(\omega + p\sigma\xi), \quad p_4|| = \frac{1}{2}(-\omega\sigma\xi - p), \quad \vec{p}_{4\perp} = -\vec{p}_{3\perp};$$

$$\chi(\vec{p}_{1\perp}, \vec{p}_{3\perp}) = \chi(\vec{p}_{2\perp}, \vec{p}_{4\perp}) = \phi.$$

Теперь мы в состоянии выразить

$$m_{13}^2 = 2\mu^2 + 2\omega_1\omega_3 - 2p_1||p_2|| - 2p_{1\perp}p_{3\perp}\cos\phi$$

через ξ, η, ϕ :

$$\begin{aligned} m_{13}^2 &= 2\mu^2 + \frac{1}{2}(\omega^2 + p^2)(1 - \sigma^2\eta\xi) + \omega p\sigma(\eta - \xi) - \\ &- \frac{1}{2}m^2\sigma^2\sqrt{1 - \eta^2}\sqrt{1 - \xi^2}\cos\phi. \end{aligned} \quad (2)$$

Квадрат m_{24}^2 отличается от m_{13}^2 знаком η и ξ :

$$\begin{aligned} m_{24}^2 &= 2\mu^2 + \frac{1}{2}(\omega^2 + p^2)(1 - \sigma^2\eta\xi) - \omega p\sigma(\eta - \xi) - \\ &- \frac{1}{2}m^2\sigma^2\sqrt{1 - \eta^2}\sqrt{1 - \xi^2}\cos\phi. \end{aligned} \quad (3)$$

Сразу видно, что в поисках крайних значений m_{13} и m_{24} мы можем ограничиться только значениями $\cos\phi = \pm 1$, потому что зависимость m_{13}^2 и m_{24}^2 от $\cos\phi$ линейна. Следовательно, края области I принадлежат плоским конфигурациям импульсов $\vec{p}_1, \dots, \vec{p}_4$. Это сильно облегчает поиски.

Теперь воспользуемся физическими соображениями. Мы уже отметили, что когда распад $0 \rightarrow 1+2+3+4$ происходит не каскадом (эффективная масса пар 1+2 и 3+4 не фиксирована), то область изменения (m_{13}, m_{24}) представляет собою равнобедренный прямоугольный треугольник с катетами $m_0 = 4\mu$.

$$2\mu \leq m_{24} \leq m_0 - 2\mu, \quad (4)$$

$$2\mu \leq m_{13} \leq m_0 - m_{24}.$$

Пусть это будет ΔKOL на рис. 2, где $E'S = E'T = 2\mu$, а $OL = OK = m_0 - 4\mu$. Искомая область I находится где-то внутри ΔKOL ; это область, где соблюдены добавочные условия $m_{12} = m_{34} = m$. Покажем, что она прилегает к гипотенузе AB . В самом деле, рассмотрим конфигурации $\vec{p}_1 + \vec{p}_3 = 0$, $\vec{p}_2 + \vec{p}_4 = 0$ (рис. 1а). При этом

$$\omega_1 + \omega_3 = \sqrt{m_{13}^2 + (\vec{p}_1 + \vec{p}_3)^2} = m_{13}, \quad (5)$$

а $\omega_2 + \omega_4 = m_{24}$. Закон сохранения энергии может быть поэтому переписан в виде $m_{13} + m_{24} = m_0$, а это и есть уравнение гипотенузы AB . Крайние точки A и B получаются при $\eta = \pm 1$, $\xi = \pm 1$:

$$A(\omega - p\sigma, \omega + p\sigma), \quad B(\omega + p\sigma, \omega - p\sigma). \quad (6)$$

Чтобы найти уравнение границы ACDB, прибегнем к другому приему. Из закона сохранения импульса $\vec{p}_1 + \vec{p}_2 = -(\vec{p}_3 + \vec{p}_4) = \vec{p}$ следует тождество

$$(\vec{p}_1 - \vec{p}_3) + (\vec{p}_2 - \vec{p}_4) = 2\vec{p}. \quad (7)$$

Оно изображается треугольником abc со сторонами $ab = |\vec{p}_1 - \vec{p}_3|$, $bc = |\vec{p}_2 - \vec{p}_4|$ и $ac = |2\vec{p}|$. Величина сторон ab и bc определяется эффективной массой m_{13} и m_{24} и разностями энергий $\omega_1 - \omega_3$ и $\omega_2 - \omega_4$, потому что существуют тождества

$$|\vec{p}_1 - \vec{p}_3| = [(\omega_1 - \omega_3)^2 + m_{13}^2 - 4\mu^2]^{\frac{1}{2}},$$

$$|\vec{p}_2 - \vec{p}_4| = [(\omega_2 - \omega_4)^2 + m_{24}^2 - 4\mu^2]^{\frac{1}{2}}. \quad (8)$$

Из закона сохранения энергии следует $\omega_1 - \omega_3 = \omega_4 - \omega_2$. Фиксируя различные значения этой разности (она меняется от нуля до $p\sigma$) и рассматривая различные треугольники abc с одним и тем же $|2\vec{p}|$, получим семейство кривых, связывающих m_{13} с m_{24} . Самая внешняя

из них, очевидно, получится, если положить $r=0$, а треугольник abc развернуть в отрезок. Здесь мыслимы три возможности: $ab - bc = ac$ (это бывает вдоль дуги AC на рис. 2), $ab + bc = ac$ (это — дуга CD) или $-ab + bc = ac$ (это дуга DB). Следовательно, уравнения дуг AC и DB суть

$$|\sqrt{m_{13}^2 - 4\mu^2} - \sqrt{m_{24}^2 - 4\mu^2}| = 2p, \quad (9)$$

уравнение дуги CD

$$\sqrt{m_{13}^2 - 4\mu^2} + \sqrt{m_{24}^2 - 4\mu^2} = 2p. \quad (10)$$

Точкам на дуге ACDB отвечают конфигурации типа рис. 1б при различных положениях точки N.

Оказывается, однако, что мыслимы и другие граничные конфигурации. Точка E, наиболее близкая к началу координат, получается при расположении, показанном на рис. 1в. При этом $\eta = \xi = 1$, $\phi = 0$, и мы имеем

$$m_{13} = m_{24} = \omega \sqrt{1 - \sigma^2} = 2\mu\omega / m = \mu m_0 / m,$$

то есть у точки E координаты суть $E(\mu m_0 / m, \mu m_0 / m)$. Пусть, далее, пара \vec{p}_1, \vec{p}_2 на рис. 1в остается неподвижной ($\eta = 1$), а пара \vec{p}_3, \vec{p}_4 начнет поворачиваться (ξ начнет меняться, см. рис. 1г); тогда m_{13} начнет быстро возрастать, m_{24} медленно убывать, точки (m_{13}, m_{24}) начнут двигаться по кривой EA. Уравнение этой кривой получим, положив в (2), (3) $\eta = 1$, $\phi = 0$ и исключив из них ξ . Оно может быть записано так, чтобы было видно, что дуга EA действительно проходит через точки A($\omega - p\sigma, \omega + p\sigma$) и E($\omega\sqrt{1-\sigma^2}, \omega\sqrt{1-\sigma^2}$)

$$\frac{m_{13}^2 - m_{13}^2(E)}{m_{24}^2 - m_{24}^2(E)} = \frac{m_{13}^2(A) - m_{13}^2(E)}{m_{24}^2(A) - m_{24}^2(E)}.$$

Если в этом уравнении переставить m_{13} и m_{24} , получим дугу EB.

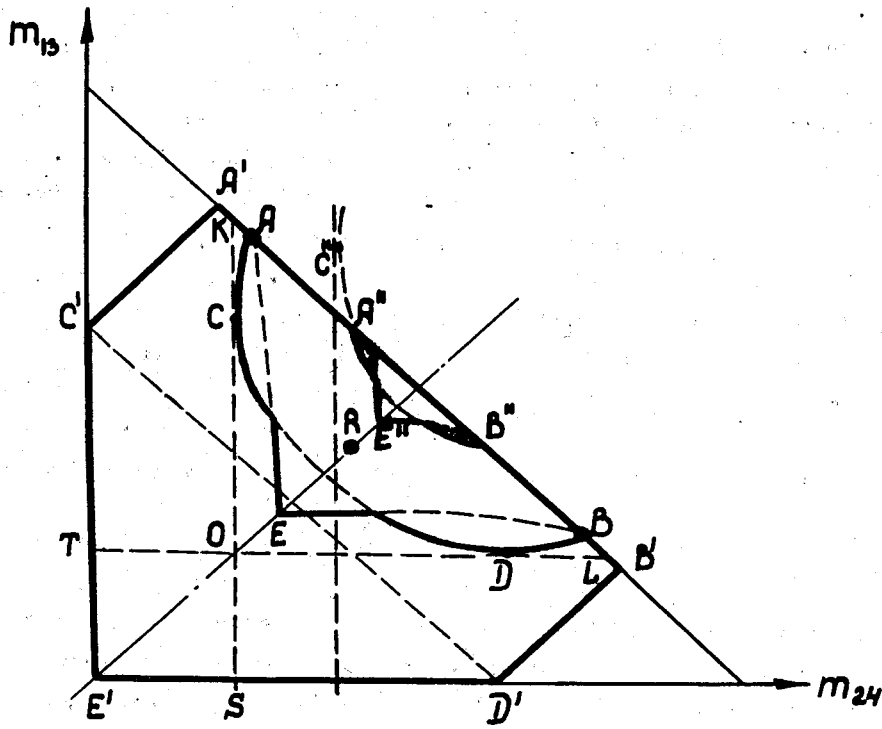


Рис. 2.

Форма областей I, следовательно, довольно сложна: это сумма двух областей, образованных тремя линиями ACDB, AEB и AB, соединяющими точки A и B. При распаде на фотоны ($\mu = 0$) она ограничена прямыми — это $A'C'E'D'B'$ (уравнение $A'C'$ есть

$$m_{13} - m_{24} = 2p \equiv (m_0^2 - 4m^2)^{\frac{1}{2}}.$$

Так выглядит область I в распаде $\pi^0 \rightarrow 2\pi^0 \rightarrow 4\gamma$. Область ACEDB примерно соответствует распаду пары ρ — мезонов на π — мезоны. Если бы энерговыделение в распаде $\rho \rightarrow \pi + \pi$ было невелико (в сравнении с распадом $0 \rightarrow \rho + \rho$), то область I приобрела бы форму $A''E''B''$, где дуга $A''B''$ описывается одним только уравнением (10). При этом расположение эллипсоидов было бы таким, как на рис. 1д.

Рассуждения, которыми была установлена форма I, не были строгими. Строгий подход состоял бы в отображении области $-1 \leq \xi, \eta \leq +1$, $\phi = 0$ и π с помощью формул (2) и (3) на плоскость (m_{13}, m_{24}) (достаточно построить линии $n = -\xi$, $n = 1$ и $\xi = 1$, все другие оказываются внутри них). Но эллипсоиды делают выкладки короче. Они полезны и в задачах посложнее. Так, хотя та же задача для системы

$$\pi^+ + p \rightarrow \Delta^{++} + \rho^0 \rightarrow (p_1 + \pi_2^+) + (\pi_3^+ + \pi_4^-) \quad (11)$$

очень громоздка, но отдельные части границы определяются немедленно: эллипсоиды распадов $\Delta \rightarrow p + \pi$ и $\rho \rightarrow \pi + \pi$ имеют различную форму (рис. 1а), поэтому условие $\vec{p}_1 + \vec{p}_3 = 0$ невыполнимо (или выполнимо в одной — двух точках), так что граница области едва ли касается гипотенузы треугольника на рис. 2. С другой стороны, конфигурации типа рис. 1в и 1г в этом случае возможны, так что область (m_{13}, m_{24}) вблизи точки E может быть очерчена (точка E уже не будет на оси симметрии). Вообще, эллипсоиды рис. 1 позволяют наметить характерные точки границы.

Представим себе, что мы изучаем реакцию (11) и наносим точки с координатами (m_{12}, m_{34}) на треугольную диаграмму типа (4). Рождение Δ и ρ выразится в перенаселенности области $m_{12} \approx m_{34}$.

$m_{34} \approx m_\rho$. Фон составляют, во-первых, события из прямой реакции $\pi^+ + p \rightarrow p + \pi^+ + \pi^+ + \pi^-$ и из реакций с рождением одного резонанса и, во-вторых, события с координатами (m_{13}, m_{24}) — мы их не отличаем от событий (m_{12}, m_{34}) ввиду наличия двух тождественных π^+ -мезонов. Величину фона нужно знать для того, чтобы рассчитать вероятности отдельных каналов реакций. Обычно фон из-за тождественности π -мезонов считают равномерным. Рассуждения предыдущего абзаца убеждают нас, что это неверно; события (m_{13}, m_{24}) в углы треугольника и к гипотенузе вообще попадать не будут. К сожалению, аналитический расчет подобного фона крайне сложен; надо либо прибегнуть к моделированию, либо при расчете вероятностей каналов вообще избегать проецировать события на плоскость (m_{ik}, m_{lm}) .

§2. Задачи

Задача 1. Могут ли в каскаде $\bar{p} + p \rightarrow \rho + \rho \rightarrow 4\pi$ пары "чужих" мезонов образовывать резонанс с массой m_ρ ?

Решение. Для этого необходимо, чтобы точка R (рис. 2) с координатами (m_ρ, m_ρ) оказалась внутри области I. Должно быть выполнено условие $m_{13}(R) > m_{13}(E)$, то есть $m_\rho > m_\pi m_0 / m_\rho$, откуда следует условие

$$m_\rho > \sqrt{\frac{m_\pi m_0}{m_\rho}}. \quad (12)$$

В частности, в распаде пары одинаковых резонансов на лептоны или фотоны ($m \gg \mu$) ничто не мешает парам лептонов иметь массу резонансов. В распаде пары ρ -мезонов на π -мезоны это равенство $m_{13} = m_{24} = m_\rho$ возможно лишь тогда, когда эффективная масса двух ρ -мезонов не превысит

$$m_\rho^2 / m_\pi \approx 4 \text{ Гэв.}$$

Задача 2. В каких пределах может меняться в распаде



эффективная масса тройки частиц $\pi^0 \gamma_1 \gamma_3$? На сколько она может отличаться от массы пары $\pi^0 \pi^0$ в распаде $K^0 \rightarrow \pi^0 + \pi^0$ (т.е. от 498Мэв) или в распаде (13), где $m_{\pi^0 \pi^0} = 2m_\pi = 270$ до $m_{K^0 \gamma_1 \gamma_3} = 363$ Мэв?

Решение. Зададимся массой m_0 пары 5+6 и перейдем в систему покоя этой пары. В ней будет известна энергия частицы 7:

$$\omega_7 = (m_K^2 - m_0^2 - m_\pi^2) / 2m_\pi.$$

Мы можем, задавшись массой пары 1+3, написать выражение для эффективной массы тройки 1+3+7:

$$m_{137}^2 = m_{13}^2 + m_\pi^2 + 2\omega_{13}\omega_7 - 2p_{13}p_7 \cos\theta. \quad (14)$$

Максимум этого выражения достигается при $\cos\theta = -1$ (ничто не мешает в системе покоя 5+6 разлету пары 1+3 и 7 в противоположные стороны). Чтобы определить ω_{13} в системе покоя 5+6, надо наряду с m_{13} задать и массу m_{24}

$$\omega_{13} = \frac{m_0^2 + m_{13}^2 - m_{24}^2}{2m_0}.$$

Ясно, что наибольшее значение ω_{13} будет достигнуто при наибольшем m_{13} и наименьшим m_{24} . Глядя на область I(A'C'E'D'B') на рис. 2, мы видим, что следует испытать пары (m_{13}, m_{24}) на отрезке A'C'. На нем $m_{13} - m_{24} = 2p$, поэтому входящее в формулу для ω_{13} сочетание $m_{13}^2 - m_{24}^2 = 2p(m_{13} + m_{24})$ достигнет максимума в точке A'. В ней, как и повсюду на гипотенузе A'B', импульс $p_{13} = 0$, поэтому (14) приобретает вид

$$m_{137 \text{ max}}^2 = m_{13}^2 + m_\pi^2 + 2 m_{13} \omega_7$$

где

$$m_{13} = \omega_6 + p_6 = \frac{m_0 + (m_0^2 - 4 m_\pi^2)^{\frac{1}{2}}}{2}$$

Остается выбрать m_0 , минимизирующее это выражение. Легко убедиться, что максимум достигается при наибольшем m_0 , равном $m_K - m_\pi$, при этом частица 7 поконится: $\omega_7 = m_\pi$; в итоге

$$\begin{aligned} m_{137 \text{ max}} &= m_{13 \text{ max}} + m_\pi = \frac{m_K + m_\pi}{2} + \\ &+ \sqrt{\frac{1}{4}(m_K - m_\pi)^2 - m_\pi^2} \approx 437 \text{ МэВ} \end{aligned}$$

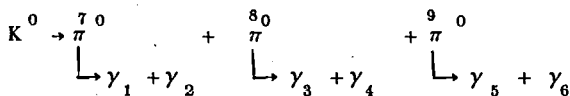
Наименьшее значение m_{137} , как легко догадаться, будет реализовано тогда, когда пара 1+3 и частица 7 направляются в одну сторону с наименьшей разницей в скоростях. Для этого положим $\cos \theta = +1$, а пару (m_{13}, m_{24}) возьмем в точке D' (рис. 2), что приведет к $m_{13}=0$, $\omega_{13} = p_{13} = m_\pi^2 / 2 m_0$. Формула для m_{137}^2 обратится в

$$m_{137 \text{ min}}^2 = m_\pi^2 + \frac{m_\pi^2}{m_0} (\omega_7 - p_7) = m_\pi^2 + \frac{m_\pi^4}{m_0 \omega_7 + m_0 p_7}$$

С ростом m_0 величина $m_0 \omega_7$ убывает, поэтому выгоднее всего взять m_0 поменьше: $m_0 = 2m_\pi$. В итоге

$$m_{137 \text{ min}} \approx m_\pi + \frac{1}{4} (\omega_7 - p_7) \approx 143 \text{ МэВ.}$$

Задача 3. В каких пределах может меняться в распаде



эффективная масса тройки $\gamma_1 \gamma_3 \gamma_5$?

Решение. Интуиция подсказывает, что наибольшее значение массы $\gamma_1 \gamma_3 \gamma_5$ будет достигнуто одновременно с наибольшим значением массы $\gamma_1 \gamma_3 \pi^0$.

Выше мы видели, что при этом в системе покоя K^0 частица 9 покойится, а масса пары 13 равна $m_{13\max} = 497 - 135 = 362$ Мэв. Распад покоящейся частицы 9 породит фотоны с энергией $m_\pi/2$, так что

$$m_{135\max} = \sqrt{\left(m_{13\max} + \frac{1}{2} m_\pi\right)^2 - \left(\frac{1}{2} m_\pi\right)^2} = \sqrt{m_{13\max} m_{139\max}} \approx 365 \text{ Мэв.}$$

Наименьшее значение массы $\gamma_1 \gamma_3 \gamma_5$ равно нулю, потому что та-
ковая эффективная масса трех фотонов, летящих в одну сторону, а ничто
не мешает трем π^0 -мезонам разлетаться коллинеарно, например, вдоль
оси z , а каждому из трех фотонов $\gamma_1, \gamma_3, \gamma_5$ выплыть тоже в направ-
лении оси z .

Рукопись поступила в издательский отдел

31 января 1969 года.